

07;12  
©1994

**МЕТОД МОНТЕ-КАРЛО ДЛЯ РАСЧЕТА  
ТЕМПЕРАТУРНОГО РАСПРЕДЕЛЕНИЯ В  
РАССЕИВАЮЩЕЙ БИОЛОГИЧЕСКОЙ СРЕДЕ,  
НАГРЕВАЕМОЙ ЛАЗЕРНЫМ ИМПУЛЬСОМ**

*И.К.Ильясов, К.В.Приходько*

В настоящее время новые медицинские технологии разрабатываются с учетом последних достижений лазерной техники. Как для разработчиков лазеров, так и для медиков важно знать, какие процессы происходят в биологических тканях под действием лазерного излучения. По действию лазерного излучения на биоткань выделяют тепловые, фотохимические, фотодеструктивные процессы [1]. В большинстве случаев клинического применения лазеров имеют место тепловые механизмы, т.е. лазерная энергия, поглощаясь, переходит в тепловую, что вызывает нагрев среды. Считается, что в большинстве случаев нагрев среды выше  $100^{\circ}$  С ведет к испарению воды, содержащейся в ткани, что приводит к ее разрушению. Нагрев выше  $60^{\circ}$  С ведет к денатурации белка и, следовательно, к некрозу биоткани. Таким образом, предварительно зная о возможной температуре среды, можно оценить границы зон удаленного материала и границы зон некроза.

Для оптимального проведения лечения, особенно в хирургии, необходимо определенное соотношение между зонами [2]. Обычно задачу определения границ зон некроза пытаются анализировать, решая уравнения теплопроводности [3]. Но этот подход обладает рядом недостатков, которые ставят под сомнение адекватность получаемых результатов. Во-первых, уравнение теплопроводности не учитывает рассеивающих свойств среды, которые, как показано ниже, могут достаточно сильно влиять на температурное поле. Во-вторых, для решения уравнения теплопроводности необходимо смоделировать тепловые источники. Это достаточно легко сделать для случая облучения биоткани с большим коэффициентом поглощения (более  $1000 \text{ см}^{-1}$ ), но когда коэффициент поглощения ткани менее  $1000 \text{ см}^{-1}$ , вопрос о моделировании тепловых источников в ткани становится проблематичным, так как лазерный свет не поглощается в тонком поверхностном слое, а распределяется по объему [3]. В-третьих, аналитически решать уравнение теплопроводности достаточно сложно, особенно в нестацио-

нарном режиме, поэтому, как правило, уравнение теплопроводности решают численно. Все это приводит к снижению точности получаемых результатов и, соответственно, не может адекватно отображать механизмы лазерного взаимодействия с биотканями. Другие методы расчета температурных полей, учитывающие процесс рассеяния, либо обладают низкой точностью (двуихпотоковая модель [7]), либо сталкиваются с трудностью подбора необходимых коэффициентов (семипотоковая модель [7]).

Предлагаемый метод расчета основан на учете вероятностного характера процессов рассеяния и поглощения фотонов в среде. Поэтому данная методика позволяет моделировать параметры лазерного излучения (расходимость, по-перечное распределение интенсивности, длительность импульса), а также рассеивающие и поглощающие свойства среды, что в конечном счете должно давать более точную картину процесса проникновения света в биоткань. Кроме того, этот метод может быть использован совместно с уравнением теплопроводности.

В данной работе не учитывается возможный отвод тепла за счет теплопроводности, поэтому результаты можно считать справедливыми для лазерных импульсов не длиннее 2.2 мс, то есть времени, после которого включается механизм теплопроводности [4]. Тем не менее, многие медицинские задачи состоят в действии на биоткань одиночных лазерных импульсов не длиннее указанной величины, например, в косметологии [5].

### Материалы и методы

Метод Монте-Карло базируется на приближении лазерного импульса к потоку большого числа фотонов  $10^5$ . Изначально мы задаем диаметр лазерного пучка, в пределах которого для каждого фотона случайно выбирается координата попадания в среду. Рассматриваемая область среды делится на элементарные объемы.

Рассмотрим для примера движение одного фотона (рис. 1). Для этого фотона случайным образом выбирается координата входа в ткань ( $R, \theta$  точка 0) и длина свободного пробега в среде  $L_{rnd}$  [6]:

$$R = RND(R_{\text{лп}}), \quad (1)$$

$$\theta = RND(2\pi), \quad (2)$$

$$L_{rnd} = \frac{-\ln(1 - RND)}{\mu_t}, \quad (3)$$

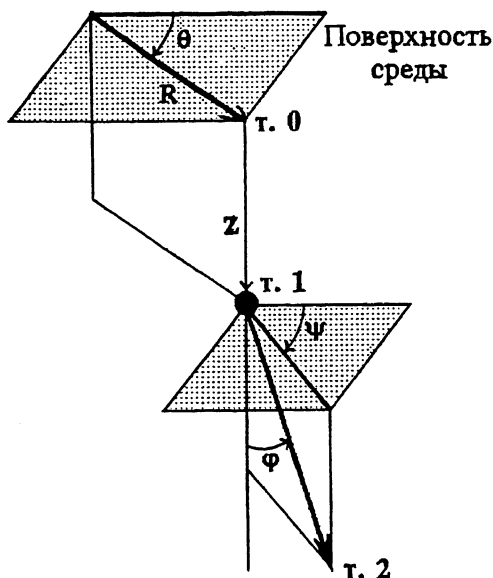


Рис. 1. Движение отдельного фотона.

где  $\mu_t$  — полный коэффициент затухания,  $R_{лп}$  — радиус лазерного пучка.

В точке  $l$  происходит элементарный акт поглощения, то есть определенная часть энергии фотона поглощается в этой точке и суммируется с уже накопленной в элементарном объеме, к которому относится точка. В этой точке также происходит акт рассеяния, то есть фотону присваивается новое направление движения с учетом коэффициента рассеяния среды. В этой же точке случайным образом, но с учетом коэффициентов поглощения и рассеяния, выбирается новая длина свободного пробега до точки  $2$ , координаты которой определяются [6]:

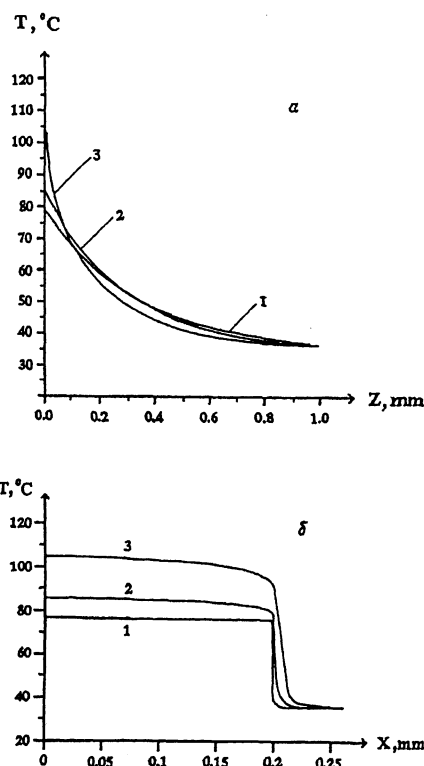
$$R' = \sqrt{R^2 + 2RL_{rnd} \sin(\Phi - \theta) + (L_{rnd} \sin(\varphi))^2}. \quad (4)$$

$\theta'$  вычисляется по формуле

$$\theta' = \theta + A \sin \left( \frac{L_{rnd} \sin \varphi \sin(\Phi - \theta)}{R'} \right), \quad (5a)$$

если  $L \sin \varphi \cos(\pi - \Phi - \theta) \leq R$ ,  
или по формуле

$$\theta' = \theta + \pi + A \sin \left( \frac{L_{rnd} \sin \varphi (\Psi - \theta)}{R'} \right), \quad (5b)$$



**Рис. 2.** Температурное распределение в биологической среде.  
 а — зависимость  $T$  среды от глубины  $Z$  под центром лазерного пучка для сред с различными коэффициентами рассеяния; б — зависимость  $T$  поверхности ткани отдаления от центра лазерного пучка  $X$  для сред с различными  $K_s$ .  
 1 —  $K_s = 3$ , 2 —  $K_s = 30$ , 3 —  $K_s = 300 \text{ см}^{-1}$ .

если  $L \sin \varphi \cos(\pi - \Psi - \theta) > R$ .

$$Z' = Z + L_{rnd} \cos \varphi, \quad (6)$$

где  $\varphi, \theta$  — старые определяющие углы;  $\varphi, \theta$  — новые определяющие углы;  $R, Z, \theta$  — цилиндрические координаты точки 1;  $R, Z, \theta$  — цилиндрические координаты точки 2.

Этот процесс длится пока энергия фотона не становится ниже предельной, или при выходе фотона за границы рассматриваемой области.

Далее подсчитывается поглощенная энергия в каждом элементарном объеме и, считая, что вся поглощенная энергия перешла в тепловую, подсчитывается температура каждого элементарного объема.

## Результаты

Были проведены расчеты для трех различных коэффициентов рассеяния  $K_s$  ( $300, 30, 3 \text{ см}^{-4}$ ) при одинаковом коэффициенте поглощения ( $30 \text{ см}^{-1}$ ) ткани для длины волны излучения  $\lambda = 577 \text{ нм}$ , плотность энергии лазерного импульса  $E = 5 \text{ Дж}/\text{см}^2$ .

На рис. 2, *a* приводятся зависимости температуры среды от глубины  $Z$  для трех типов биоткани: слабо-, средне- и сильнорассеивающей под центром лазерного пучка. Видно, что темпераутра на поверхности среды с  $K_s = 300 \text{ см}^{-1}$  выше на  $27^\circ \text{ С}$ , чем для  $K_s = 3 \text{ см}^{-1}$ . Однако ее затухание с глубиной идет быстрее, то есть процессы некротизации и деструкции на поверхности сильнорассеивающей среды начнутся быстрее, в то время как глубина этих зон будет меньше, чем для слаборассеивающей.

На рис. 2, *b* приведены поперечные распределения температуры среды для различных коэффициентов рассеяния на одинаковой глубине. Можно видеть, что для слаборассеивающей среды поперечное распределение температуры самое гладкое, в то время как для сильнорассеивающей среды явно выражен максимум температуры под центром лазерного пучка, что, очевидно, является следствием вклада рассеянных с краев фотонов. Таким образом, если построить изотерму для  $60^\circ \text{ С}$ , то получим, что при прочих равных условиях граница зоны некроза для слаборассеивающей среды будет уже и глубже, чем для среды с большим коэффициентом рассеяния.

## Выводы

Данная работа показывает, насколько важно при расчете температурных полей в результате воздействия лазерного излучения учитывать не только коэффициент поглощения среды, но и коэффициент рассеяния. Показано, что поверхностная температура среды с одинаковыми коэффициентами поглощения, но с различными коэффициентами рассеяния, может отличаться на  $27$  градусов, что для биологических тканей существенно влияет на процессы, происходящие в результате взаимодействия.

Данные о температурных полях, полученных по методу Монте-Карло, хорошо согласуются с результатами других работ [3], что говорит о возможности применения данного метода для более сложных расчетов.

Метод Монте-Карло можно использовать для моделирования источников тепла в тех случаях, когда не ясно, какой модели отдать предпочтение при решении уравнения теплопроводности.

По приведенной методике можно предсказывать ожидаемые границы зон деструкции и некротизации биотканей.

### Список литературы

- [1] Muller G., Schaldach B. // Advances in Laser Medicine II Safety and Laser Tissue Interaction. Germany, 1989. P. 17-25.
- [2] Альтишuler Г.Б., Беликов А.В., Ерофеев А.В., Ильясов И.К., Приходько К.В. // Тез. докл. конф. "Оптика лазеров". 1993. Ч. II. 647.
- [3] Васильев В.Н., Серков С.К. // Инженерно-физический журнал. 1992. Т. 63. В. 4. С. 449-456.
- [4] van Gemert M.J.C., Welch A.J. // Laser in Surgery and Medicine. 1986. V. 6. P. 76-83.
- [5] Keijzer M., Pickering J.W., van Gemert M.J.C. // Laser in Surgery and Medicine. 1991. V. 11. P. 601-605.
- [6] Keijzer M., Jacques S.L., Proahl S.A., Welch A.J. // Laser in Surgery and Medicine. 1989. V. 9. P. 148-154.
- [7] Welch A.J., Yoon G., van Gemert M.J.C. // Laser in Surgery and Medicine. 1987. V. 6. P. 488-493.

Институт точной  
механики и оптики  
Санкт-Петербург

Поступило в Редакцию  
7 января 1994 г.